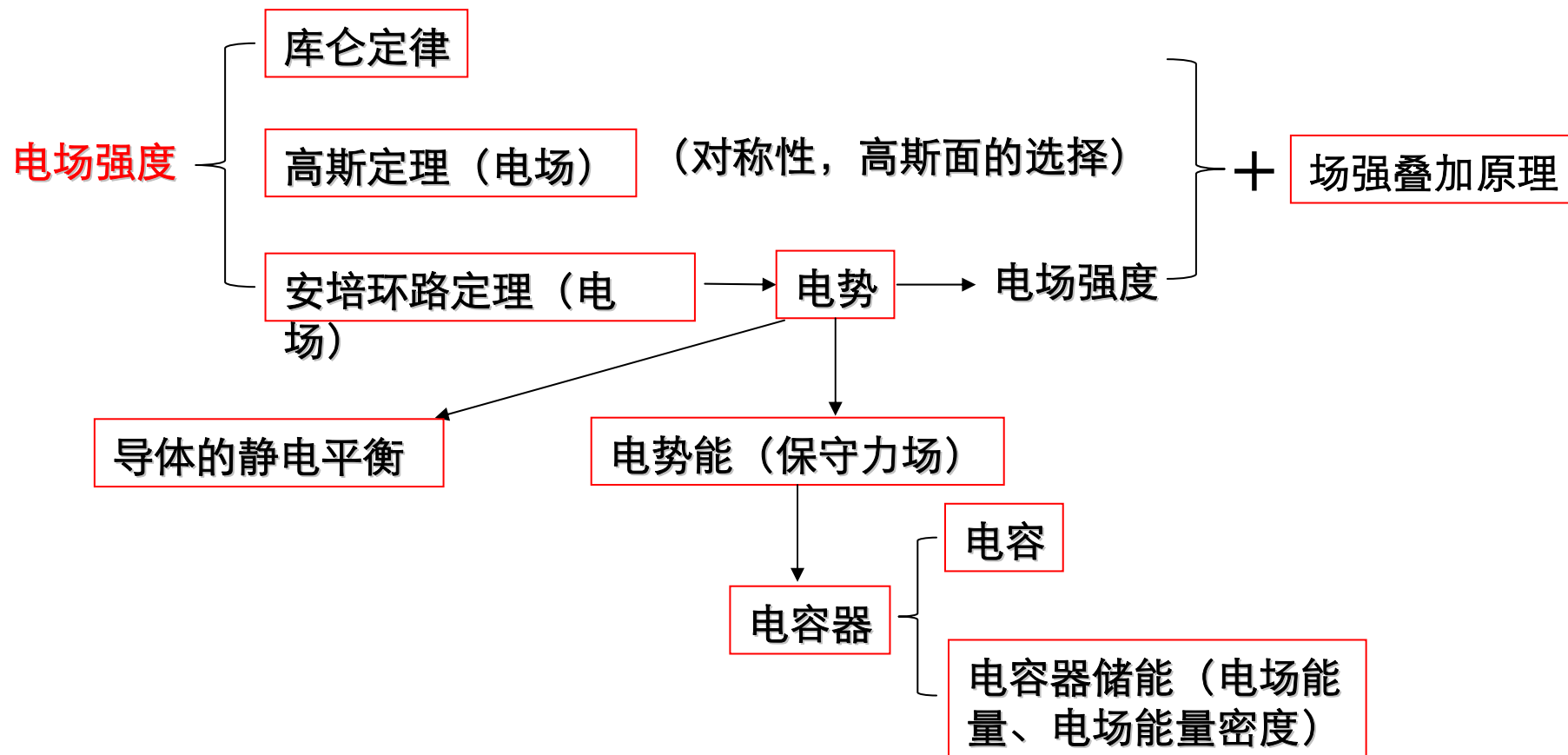


---

# 电磁学及光学复习

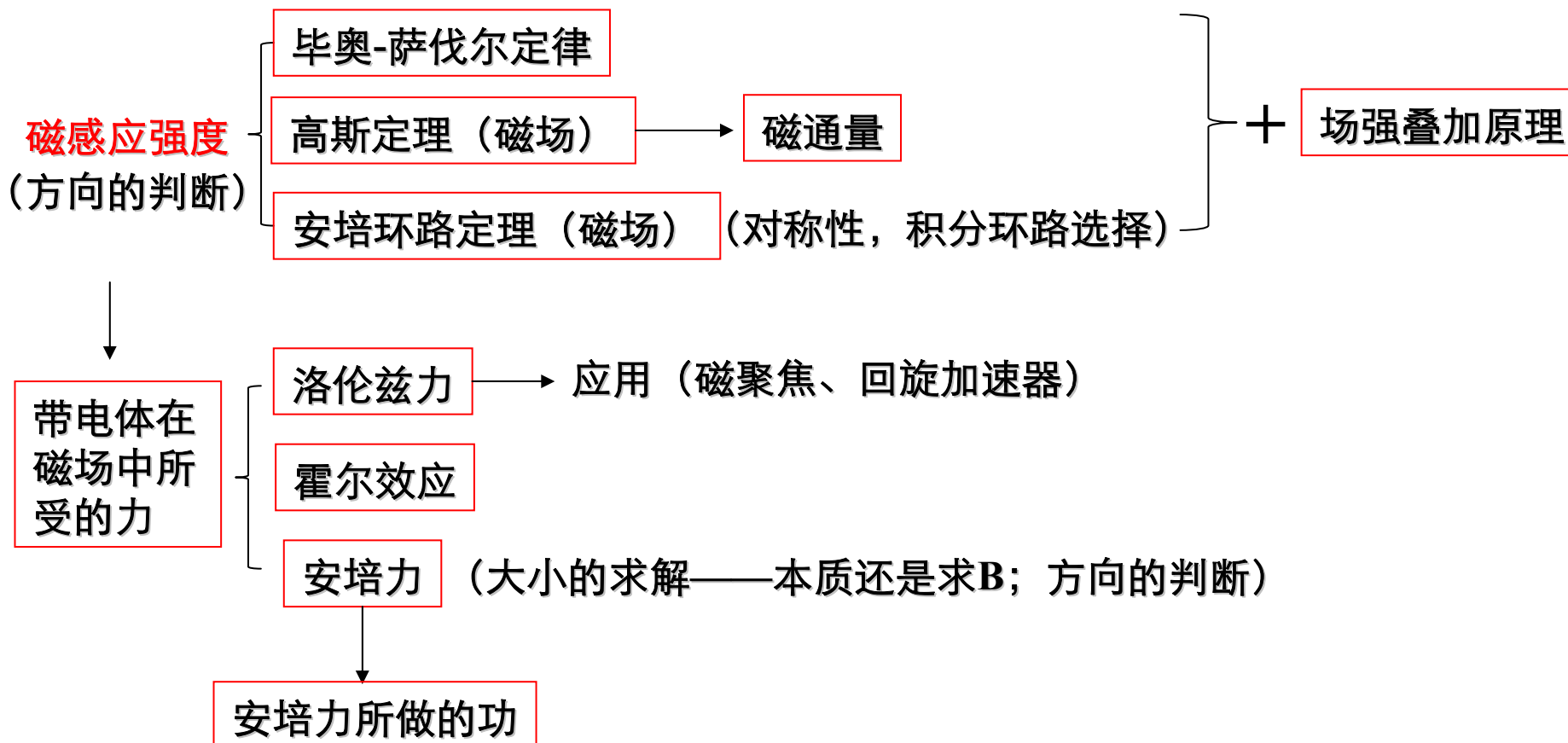
# 电磁学主要知识脉络

## 静电场



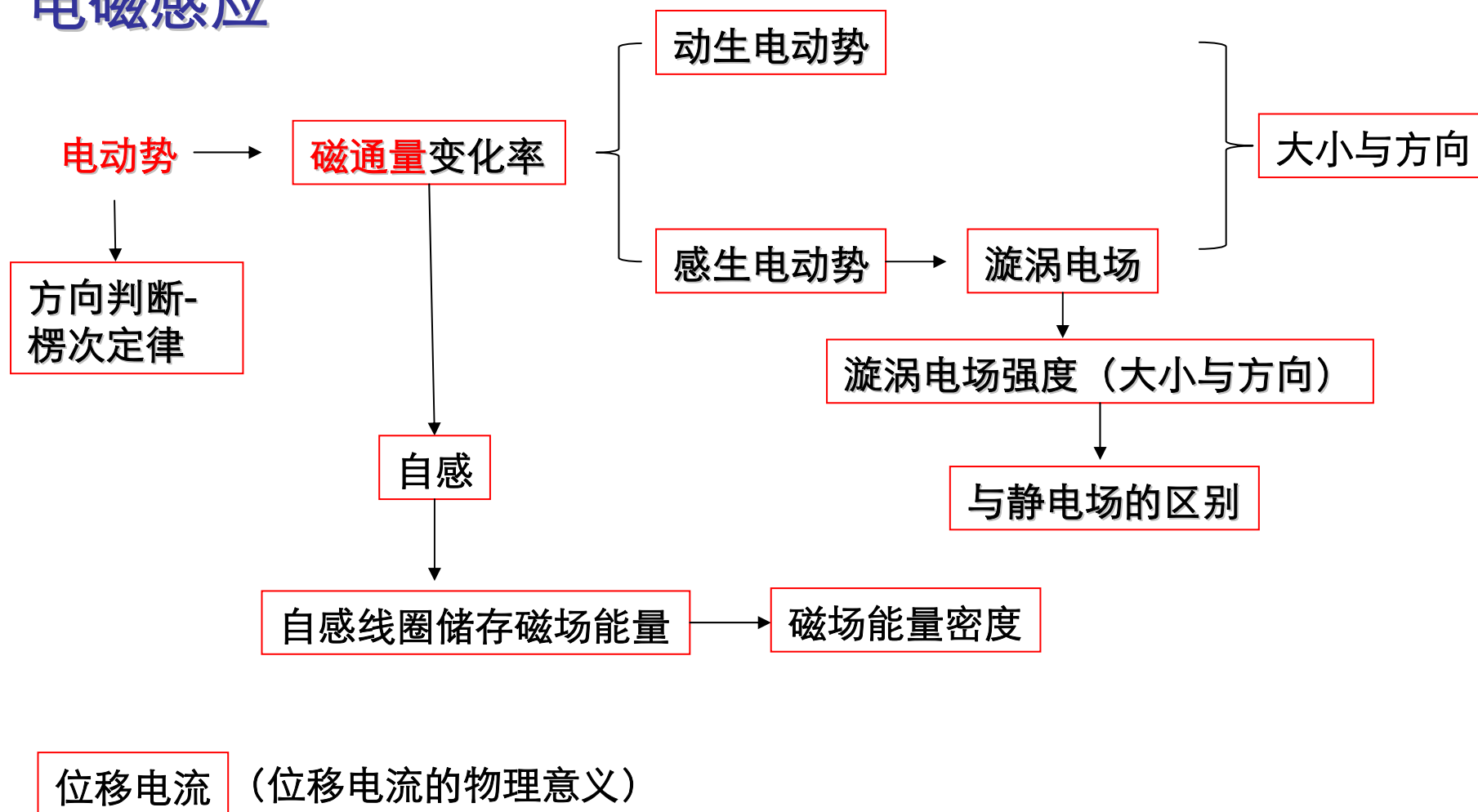
# 电磁学主要知识脉络

## 稳恒磁场

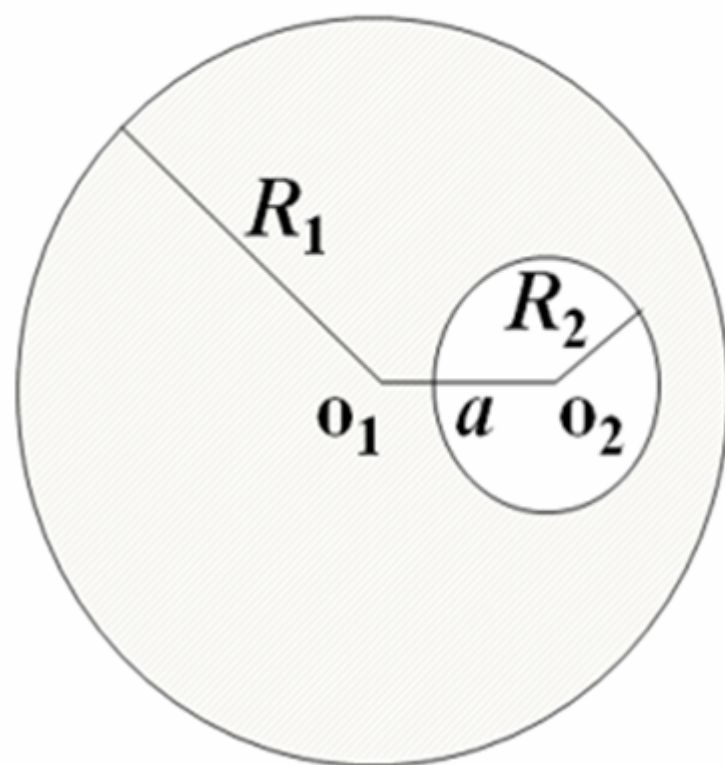


# 电磁学主要知识脉络

## 电磁感应



例：在半径为 $R_1$ ，体电荷密度为 $\rho$ 的均匀带电球体内，挖去一个半径为 $R_2$ 的小球体。空腔中心 $O_2$ 与带电球体中心 $O_1$ 之间的距离为 $a$ ，且 $R_1 > a > R_2$ ，如图所示。求：空腔内任一点的场强。



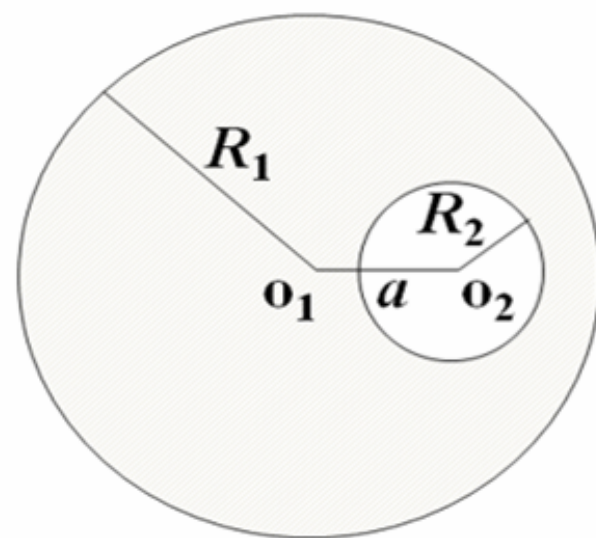
空腔中任意一点Q的场强可以由一个半径为 $R_1$ ，体电荷密度为 $\rho$ 的完整均匀带电球体和一个半径为 $R_2$ ，体电荷密度为 $-\rho$ 的均匀带电球小球体在Q产生的场强之矢量和

$$\vec{E} = \vec{E}_1 + \vec{E}_2$$

$$\text{求 } \vec{E}_1 \quad \oint \vec{E} \cdot d\vec{s} = \frac{q}{\epsilon_0} \implies \vec{E}_1 \cdot 4\pi r_1^2 = \frac{4\rho\pi r_1^3}{3\epsilon_0} \implies \vec{E}_1 = \frac{\rho r_1}{3\epsilon_0} \vec{r}_1$$

$$\text{同理} \quad \vec{E}_2 = -\frac{\rho r_2}{3\epsilon_0} \vec{r}_2$$

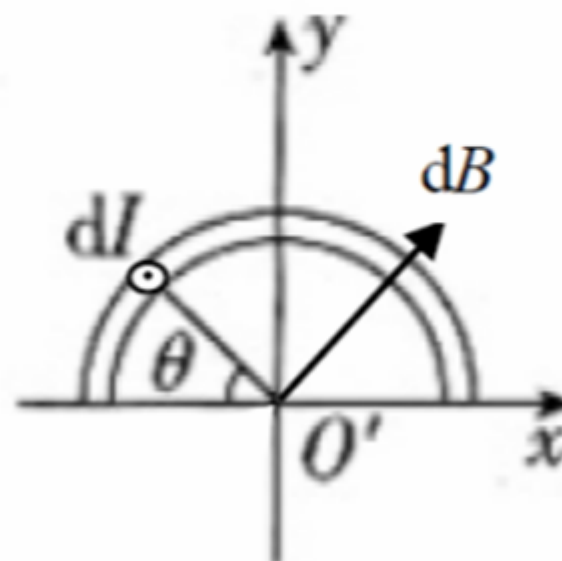
$$\vec{E} = \frac{\rho(\vec{r}_1 - \vec{r}_2)}{3\epsilon_0} = \frac{\rho \vec{a}}{3\epsilon_0}$$



---

有一个半径为  $R$  的“无限长”半圆柱面导体，沿轴方向的电流  $I$  在柱面上均匀地流动。试求：

- 1) 半圆柱直径面（半圆直径和轴构成的平面）上磁通量为何？
- 2) 半圆柱面导体轴线  $oo'$  上的磁感应强度。



(1) 将半圆柱导体面看作由许多平行的, 宽度为 $dl$ 的无限长直导线组成, 由对称性可得, 直径面上磁通量为0

(2) 将半圆柱导体面看作由许多平行的, 宽度为 $dl$ 的无限长直导线组成, 每一窄条电流强度为:

$$dI = \frac{Idl}{\pi R} = \frac{IRd\theta}{\pi R} = I \frac{d\theta}{\pi}$$

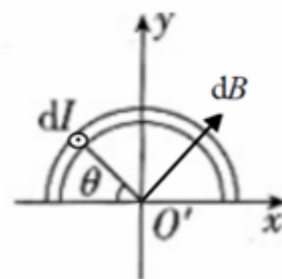
在轴线上产生的磁感应强度为:  $dB = \frac{\mu_0 dI}{2\pi R} = \frac{\mu_0 I}{2\pi^2 R} d\theta$  单根无限长直流导线的结论!

方向如图所示。

由于对称性,  $y$ 方向场强分量相互抵消。合场强沿 $x$ 方向。

$$B_x = \int_0^\pi \frac{\mu_0 I}{2\pi^2 R} \sin \theta d\theta = -\frac{\mu_0 I}{2\pi^2 R} \cos \theta \Big|_0^\pi = \frac{\mu_0 I}{\pi^2 R}$$

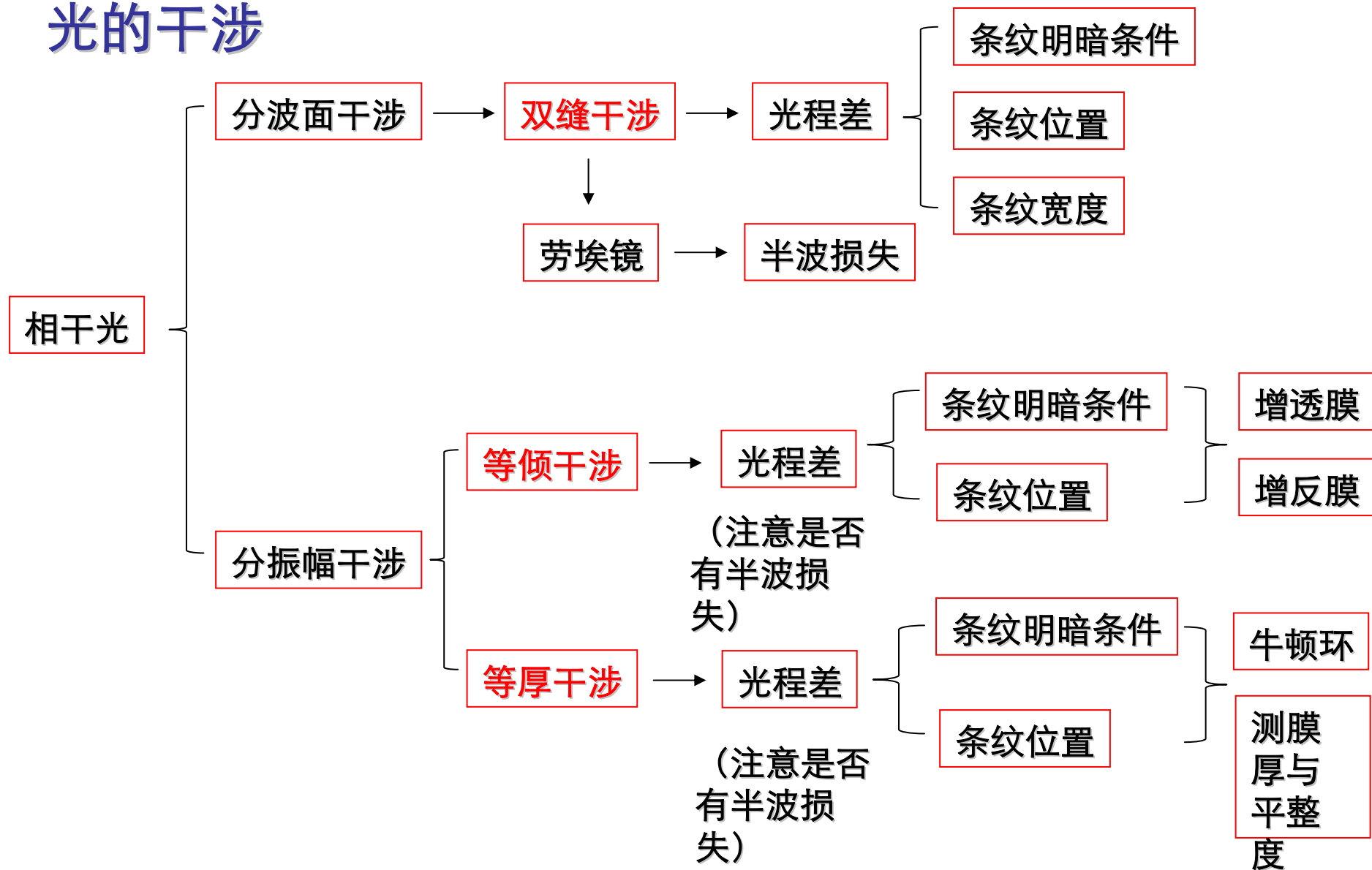
$$\vec{B} = B_x \hat{x} = \frac{\mu_0 I}{\pi^2 R} \hat{x}$$





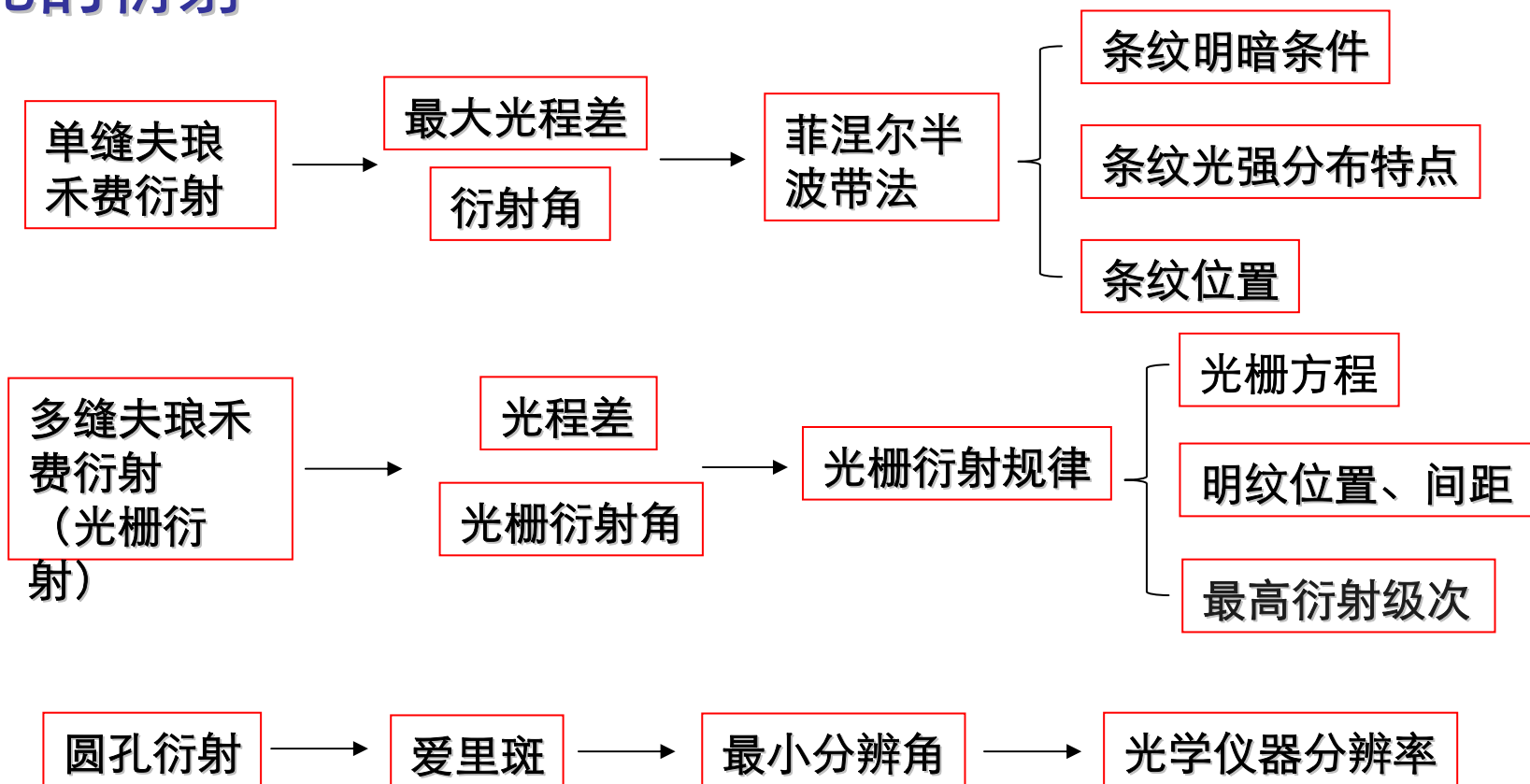
# 光学主要知识脉络

## 光的干涉



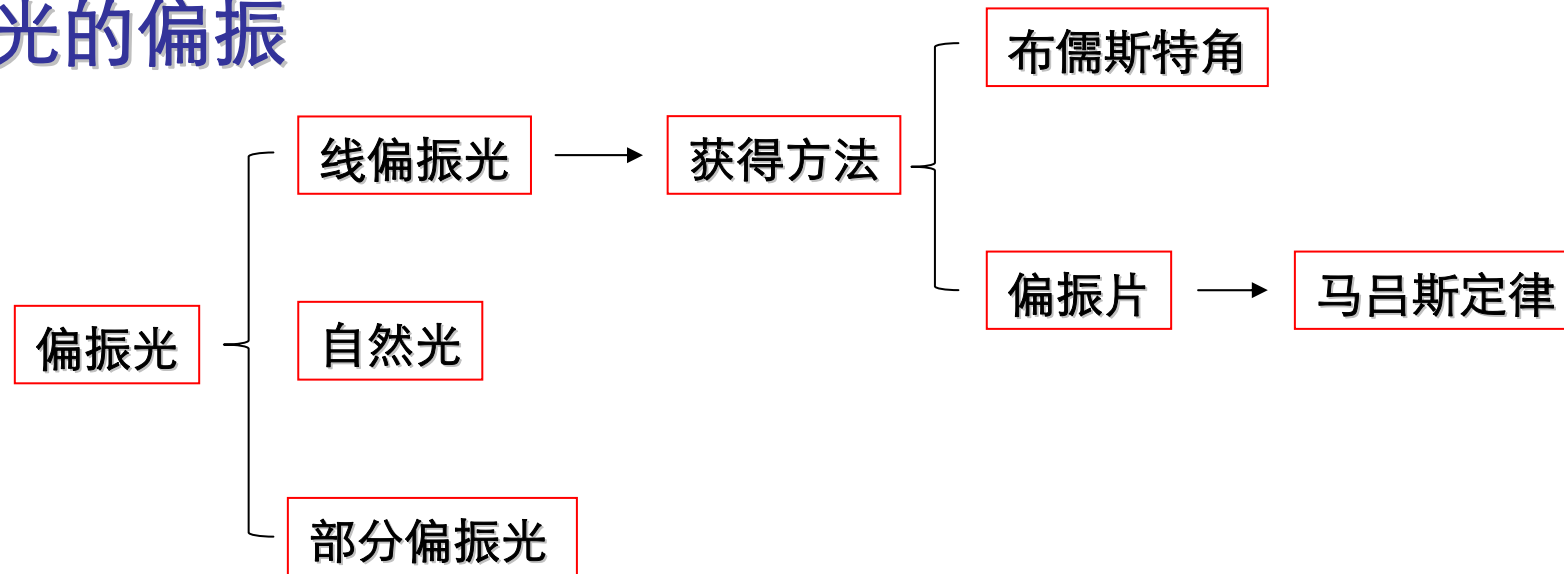
# 光学主要知识脉络

## 光的衍射



# 光学主要知识脉络

## 光的偏振

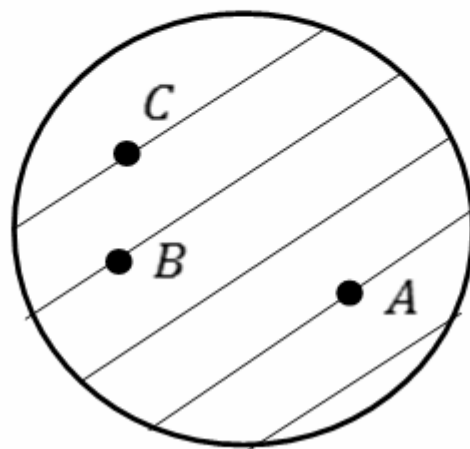


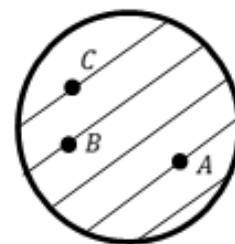
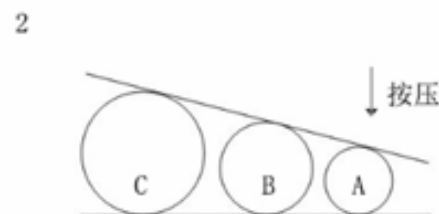
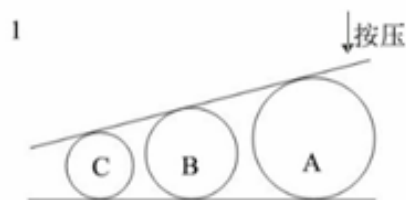
---

利用光的干涉可以检验工件质量。现将A、B、C三个直径相近的滚珠放在两块平玻璃之间，用单色平行光垂直照射，观察到的等厚条纹如图3所示。

(1) 怎样判断三个滚珠哪个大？哪个小？

(2) 若单色光波长为 $\lambda$ ，试用 $\lambda$ 表示三滚珠直径之差





如图，分两种情况，在A附近按压玻璃板时：

1: 条纹间距变大，则  $d_A > d_B > d_C$

2: 条纹间距变小，则  $d_A < d_B < d_C$

分析：条纹间距  $L \approx \frac{\Delta h}{\theta}$ ，而  $2n\Delta h = \lambda$

$L \approx \frac{\lambda}{2n\theta}$   $\theta$ 减小 $L$ 增大， $\theta$ 增大 $L$ 减小

$$|d_A - d_B| = 2 \times \frac{\lambda}{2} \quad |d_B - d_C| = 1 \times \frac{\lambda}{2} \quad |d_A - d_C| = 3 \times \frac{\lambda}{2}$$

$$\text{相邻条纹间距 } l = \frac{\Delta e}{\sin \theta} = \frac{\lambda}{2n_2 \sin \theta}$$

(1) 在单缝夫琅禾费衍射实验中，垂直入射的光有两种波长， $\lambda_1=400\text{ nm}$ ， $\lambda_2=760\text{ nm}$  ( $1\text{ nm}=10^{-9}\text{ m}$ )。已知单缝宽度 $a=1.0\times 10^{-2}\text{ cm}$ ，透镜焦距 $f=50\text{ cm}$ 。求两种光第一级衍射明纹中心之间的距离。

(2) 若用光栅常数 $d=1.0\times 10^{-3}\text{ cm}$ 的光栅替换单缝，其他条件和上一问相同，求两种光第一级主极大之间的距离。

$$(1) \text{ 由单缝衍射明纹公式可知: } a \sin \varphi_1 = \frac{1}{2}(2k+1)\lambda_1 = \frac{3}{2}\lambda_1 \quad (\text{取 } k=1)$$

$$a \sin \varphi_2 = \frac{1}{2}(2k+1)\lambda_2 = \frac{3}{2}\lambda_2$$

$$\text{tg } \varphi_1 = x_1 / f \quad \text{tg } \varphi_2 = x_2 / f$$

$$\text{由于: } \sin \varphi_1 \approx \text{tg } \varphi_1 \quad \sin \varphi_2 \approx \text{tg } \varphi_2 \quad \text{所以: } x_1 = \frac{3}{2}f\lambda_1 / a \quad x_2 = \frac{3}{2}f\lambda_2 / a$$

$$\Delta x = x_2 - x_1 = \frac{3}{2}f\Delta\lambda / a$$

$$(2) \text{ 由光栅衍射主极大的公式: } d \sin \varphi_1 = k\lambda_1 = 1\lambda_1 \quad d \sin \varphi_2 = k\lambda_2 = 1\lambda_2$$

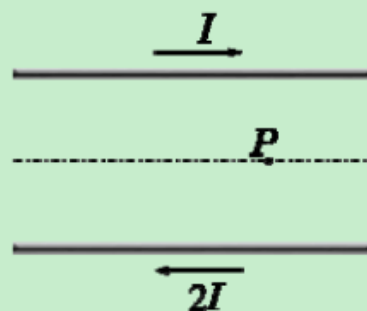
$$\text{且有: } \sin \varphi \approx \text{tg } \varphi = x / f$$

$$\Delta x = x_2 - x_1 = f\Delta\lambda / d$$

# 真题

四、计算题（将解答过程填写在答题纸上相应位置，三小题，每题 12 分，共 36 分.）

1. 如图所示，两根无限长通电直导线分别通以反向的稳恒电流  $I$  和  $2I$ ，并置于磁导率为  $\mu$  的各向同性均匀介质中，两导线之间的距离为  $d$ ，试求两导线中间的任意一点  $P$  的磁场强度  $H$  和磁感应强度  $B$  的大小及方向.



分别以直导线为轴，过  $P$  点做圆形环路. 由于对称性，环路上每一点的磁场强度大小都相等，方向与线元  $d\vec{l}$  一致. 根据右手螺旋定则可知，电流  $I$  产生的磁场在  $P$  点的磁场强度  $H_1$  的方向垂直于纸面向里；电流  $2I$  产生的磁场在  $P$  点的磁场强度  $H_2$  的方向也是垂直于纸面向里.  $H_1$  和  $H_2$  同向，因此， $P$  点的磁场强度  $H$  的大小为  $H_1$  和  $H_2$  的大小之和，磁场强度  $H$  的方向垂直于纸面向里.

根据磁介质中的安培环路定理

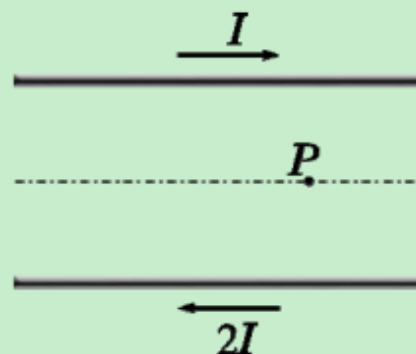
$$\oint_L \vec{H} \cdot d\vec{l} = \sum I$$

# 真题

可以求出  $H_1$  和  $H_2$  的大小:

$$\oint_L \vec{H}_1 \cdot d\vec{l} = I \Rightarrow H_1 \oint_L dl = I$$
$$\Rightarrow 2\frac{d}{2}\pi H_1 = I \Rightarrow H_1 = \frac{I}{d\pi}$$

(2 分)



同理,

$$\oint_L \vec{H}_2 \cdot d\vec{l} = 2I \Rightarrow H_2 \oint_L dl = 2I$$
$$\Rightarrow 2\frac{d}{2}\pi H_2 = 2I \Rightarrow H_2 = \frac{2I}{d\pi}$$

(2 分)

因此, 导线中间的任意一点  $P$  的磁场强度  $H$  为

$$H = H_1 + H_2 = \frac{I}{d\pi} + \frac{2I}{d\pi} = \frac{3I}{d\pi}$$

磁场强度  $H$  的方向垂直于纸面向里. (2 分)

又根据各向同性均匀介质中磁场强度  $H$  和磁感应强度  $B$  的关系:

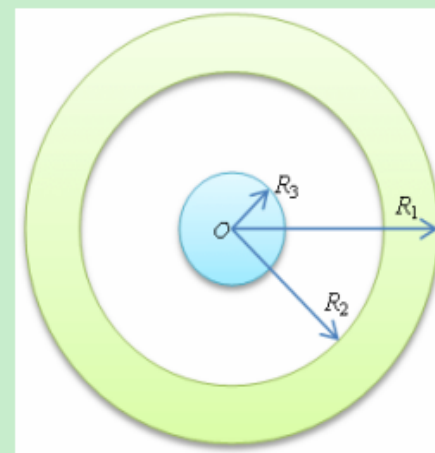
$$\vec{B} = \mu \vec{H} \Rightarrow B = \frac{3\mu I}{d\pi}$$

磁感应强度  $B$  的方向垂直于纸面向里. (3 分)



# 真题

3. 如图所示，一个金属导体球壳套着一个实心金属导体球. 若金属导体球壳和实心金属导体球的电量均为  $+Q$ ，且金属球壳的半径分别为  $R_1$  和  $R_2$ 、实心金属导体球的半径为  $R_3$ （其中  $R_1 > R_2 > R_3$ ）. 求：（1）金属导体球壳上的电荷分布.（2）空间各处的电场强度分布.



3. 解:

电荷分布: 根据静电平衡, 金属球的电荷只分布在外表面, 电量为 $+Q$ , 内部电荷为零. 在金属球壳的内表面分布有 $-Q$ 的电荷, 外表面分布有 $+2Q$ 的电荷, 球壳内部电荷为零. (2 分)

电场分布: 根据高斯定理

$$\oiint \vec{E} \cdot d\vec{S} = \frac{1}{\varepsilon_0} \sum Q \quad (2 \text{ 分})$$

A.  $E = 0, (r < R_3)$  (2 分)

B.  $E = \frac{Q}{4\pi\varepsilon_0 r^2}, (R_3 \leq r < R_2)$  (2 分)

C.  $E = 0, (R_2 \leq r < R_1)$  (2 分)

D.  $E = \frac{2Q}{4\pi\varepsilon_0 r^2}, (R_1 \leq r)$  (2 分)

# 真题

本题

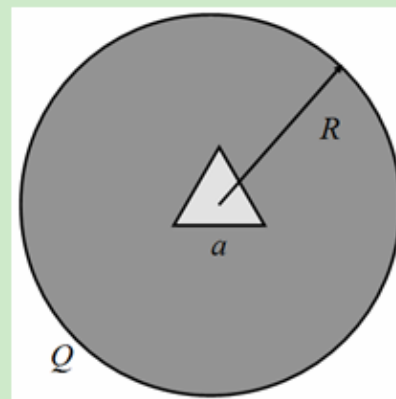
得分

## 四、计算题 ( 本题分 4 小题, 每小题 10 分, 共 40 分 )

1. 如图所示, 一个半径为  $R$  的金属导体球体, 中间挖去一个边长为  $a$  ( $a < R$ ) 的正四面体, 且该正四面体的中心与球心重合. 现设该物体带电量为  $Q$ , 当达到

静电平衡后, 试求:

- (1) 电荷在导体上的分布;
- (2) 空间各处的电场强度分布;
- (3) 空间各处的电势分布.



1、解：↵

(1) 当带电导体处于静电平衡状态时，导体内部处处没有净电荷存在，电荷只能分布于导体表面上. 本题目中，金属导体球内虽然有空腔，但是空腔中没有电荷，电荷只分布在导体外表面. (2分) ↵

(2) 该体系的电荷和电场分布具有球对称性，以球心为中心，作一个球形的高斯面，从而根据电场的高斯定理求解电场强度. 设球心到高斯面的距离为 $r$ ，则↵

当 $r < R$ 时，高斯面内所包含的净电荷量为零，即 $Q = 0$ ，根据高斯定理有：↵

$$\oiint_S \vec{E} \cdot d\vec{S} = \frac{Q}{\epsilon_0} = 0 \Rightarrow E = 0 \quad \checkmark$$

当 $r > R$ 时，高斯面内所包含的净电荷量为 $Q$ ，根据高斯定理有：↵

$$\oiint_S \vec{E} \cdot d\vec{S} = \frac{Q}{\epsilon_0} \Rightarrow E \oiint_S dS = E 4\pi r^2 = \frac{Q}{\epsilon_0} \Rightarrow E = \frac{Q}{4\pi\epsilon_0 r^2} \quad \checkmark$$

当 $Q > 0$ 时，电场强度的方向沿着径向向外；↵

当 $Q < 0$ 时，电场强度的方向沿着径向向里； (4分) ↵

(3) 若选无穷远处为电势零点, 则可根据电势计算公式  $U_a = \int_a^\infty \vec{E} \cdot d\vec{l}$ , 来计算电势, 并选径向为积分路径.

$$\text{当 } r < R \text{ 时, } U = \int_r^R \vec{E} \cdot d\vec{r} + \int_R^\infty \vec{E} \cdot d\vec{r} = 0 + \int_R^\infty \frac{Q}{4\pi\epsilon_0 r^3} \vec{r} \cdot d\vec{r} = \frac{Q}{4\pi\epsilon_0 R}$$

$$\text{当 } r \geq R \text{ 时, } U = \int_r^\infty \frac{Q}{4\pi\epsilon_0 r^3} \vec{r} \cdot d\vec{r} = \frac{Q}{4\pi\epsilon_0 r} \quad (4 \text{ 分})$$

# 真题

---

## 三、应用题（将解答过程填写在答题纸上相应位置，本题 12 分）

人造珠宝饰物莱茵石是折射率为 1.5 的一种玻璃. 为了让它更加反光耀眼，常在其上镀一层折射率为 2.0 的一氧化硅. 当波长为 560nm 的光垂直照射并在镀层的两个表面反射时，得到完全干涉相长的反射光，所需镀层的最小厚度是多少？

解：设空气的折射率为  $n_1 = 1$ ，一氧化硅的折射率为  $n_2 = 2$ ，莱茵石的折射率为  $n_3 = 1.5$ ，如图所示. 对于一氧化硅镀层与空气的界面来说，光波从折射率较小的光疏介质（空气）传向折射率较大的光密介质（一氧化硅镀层），因此反射光存在半波损失. 但是，对于一氧化硅镀层与玻璃的界面来说，光波从折射率较大的光密介质（一氧化硅镀层）传向折射率较小的光疏介质（莱茵石玻璃），因此反射光不存在半波损失. 一氧化硅镀层的两个表面的反射光之间存在附加程差. 设一氧化硅镀层的厚度为  $d$ ，则两反射光束之间的光程差为

$$\delta_r = 2dn_2 + \frac{\lambda}{2} \quad (6 \text{ 分})$$

当光程差等于波长的整数倍时，出现干涉相长

$$\delta_r = 2dn_2 + \frac{\lambda}{2} = k\lambda \Rightarrow d = (2k-1) \frac{\lambda}{4n_2}$$

$$\text{令 } k = 1$$

(6 分)

$$\Rightarrow d_{\min} = \frac{\lambda}{4n_2} = \frac{560 \text{ nm}}{8} = 70 \text{ nm}$$

